

УДК 57.032

НАКОПЛЕНИЕ β -АМИЛОИДА ПРИВОДИТ К СНИЖЕНИЮ ЭКСПРЕССИИ LYNX1 И LYPD6B В ГИППОКАМПЕ И УВЕЛИЧЕНИЮ ЭКСПРЕССИИ ПРОВОСПАЛИТЕЛЬНЫХ ЦИТОКИНОВ В ГИППОКАМПЕ И СЫВОРОТКЕ КРОВИ

© 2023 г. М. Л. Бычков¹, А. В. Кириченко¹, А. С. Парамонов¹,
академик РАН М. П. Кирпичников^{1,2}, Е. Н. Люкманова^{1,2,3,*}

Поступило 22.02.2023 г.

После доработки 20.03.2023 г.

Принято к публикации 22.03.2023 г.

Болезнь Альцгеймера является быстропрогрессирующим нейродегенеративным заболеванием, развитие которого связано с накоплением олигомеров β -амилоида, дисфункцией никотинового рецептора ацетилхолина $\alpha 7$ -nAChR и активацией воспаления. Ранее нами было показана конкуренция нейромодулятора Lynx1, принадлежащего семейству Ly6/uPAR, с β -амилоидом(1-42) за связывание с $\alpha 7$ -nAChR. В представленной работе мы изучили экспрессию и локализацию белков семейства Ly6/uPAR в гиппокампе трансгенных мышей 2xTg-AD, моделирующих БА и демонстрирующих повышенный амилоидоз в головном мозге. При помощи ПЦР в реальном времени мы показали падение экспрессии генов, кодирующих Lynx1, Lypd6b и постсинаптического маркера PSD95, а также увеличение экспрессии гена TNF α в гиппокампе мышей 2xTg-AD. Гистохимический анализ выявил, что в гиппокампе мышей 2xTg-AD Lynx1 не со-локализуется с $\alpha 7$ -nAChR, что может приводить к развитию патологии при взаимодействии рецептора с олигомерным β -амилоидом. Также в мышах 2xTg-AD показана активация системного воспаления, что проявляется в падении в сыворотке крови уровня SLURP-1, белка семейства Ly6/uPAR, способного регулировать воспалительные процессы, а также в повышении содержания провоспалительных цитокинов TNF α и TNF β . Таким образом, дисфункция $\alpha 7$ -nAChR и поддержание воспалительного микроокружения в мозге при болезни Альцгеймера могут быть связаны с уменьшением экспрессии белков семейства Ly6/uPAR, регулирующих работу $\alpha 7$ -nAChR и воспаление.

Ключевые слова: болезнь Альцгеймера, никотиновый рецептор ацетилхолина, Ly6/uPAR, Lynx1, SLURP-1, Lypd6b

DOI: 10.31857/S2686738922600881, **EDN:** IYLGDX

Болезнь Альцгеймера (БА) является быстро-прогрессирующим нейродегенеративным заболеванием, значительно снижающим качество жизни пациентов, причем как причины возникновения этой болезни, так и механизмы ее прогрессии остаются слабо изученными [1]. Важными молекулярными механизмами, опосредующими патогенез БА, является формирование нераствори-

мых олигомеров, состоящих из бета-амилоида ($A\beta$), образуемого при расщеплении белка-предшественника амилоида (APP), а также образование внутриклеточных фибрилл, состоящих из тау-белка, ингибирующих синаптическую передачу [2, 3].

Известно, что развитие БА сопровождается дисфункцией никотинового рецептора ацетилхолина типа альфа 7 ($\alpha 7$ -nAChR), опосредующего синаптическую передачу, и играющего важную роль в формировании памяти и обучении [4]. $A\beta$ может взаимодействовать с $\alpha 7$ -nAChR, модулируя работу рецептора: в норме растворимый $A\beta$ активирует $\alpha 7$ -nAChR, усиливая синаптическую трансмиссию, однако, олигомеры $A\beta$ приводят к ингибированию работы рецептора и гибели нейронов [5, 6]. Падение экспрессии $\alpha 7$ -nAChR приводит к дальнейшему усилиению формирования амилоидных бляшек и значительно снижает когнитивные способности в мышиной модели БА [7].

¹Институт биоорганической химии имени академиков М.М. Шемякина и Ю.А. Овчинникова Российской академии наук, Москва, Россия

²Междисциплинарная научно-образовательная школа “Молекулярные технологии живых систем и синтетическая биология”, Биологический факультет Московского государственного университета имени М.В. Ломоносова, Москва, Россия

³Шеньчжэньский МГУ-ППИ Университет, Шеньчжэнь, Китай

*e-mail: ekaterina-lyukmanova@yandex.ru

Таблица 1. Праймеры, использованные для ПЦР в реальном времени

Ген	Прямой праймер	Обратный праймер	Длина ампликона, п.н.
β -actin	GCA GCC ACT GTC GAG TC	ACG ATG GAG GGG AAT ACA GC	190
<i>Gpdh</i>	CCA TGT GGG TGT TTG AGG AAG	GCC CTG GCA GGT ATT TAA CAT TC	89
<i>Sdhα</i>	AAC ACT GGA GGA AGC ACA CC	AGT AGG AGC GGA TAG CAG GA	135
<i>Lynx1</i>	CAA CAC CGC ACG AAG TGT G	GCC TGA GCT CTT GGT CTC TT	101
<i>Lynx2</i>	GAG GAT GTG GGT TCT CGG C	CAG GGG ACG AGC AAT CGT T	148
<i>Lypd6</i>	CTG TCA CCA AAC GCT GTG TC	TTG TAG CCT TCG TGC TCT GAG	97
<i>Lypd6b</i>	ACT TGC GAA AAT GCA GGG GAT	GCT GGT GAA GTG ATG AAC TGT CA	76
<i>Psca</i>	TGC TGC TTG CCC TGT TGA T	CCT GTG AGT CAT CCA CGC A	138
<i>Slurp1</i>	AGG TCT CGG AAG CAG CAG AA	GGA CCA TTA CCC GCT GCA A	52
<i>Slurp2</i>	GAG GGA CTC CAC CCA CTG TGT	GCA GCC TAT GTG GCA CAT CTT	94
α 7-nAChR	TGGTCCTATGGAGGGTGGTC	TAGAGTGCCTACGGCGCAT	185
<i>Dlg4</i>	CTA CCA AGA TGA AGA CAC GCC	TCT GTT CCA TTC ACC TGC AAC	145
<i>Tnfa</i>	AGG CAC TCC CCC AAA AGA TG	GCT CCT CCA CTT GGT GGT TT	219

Еще одной важной чертой патогенеза БА является индукция воспаления в головном мозге, что сопровождается секрецией клетками микроглии про-воспалительных цитокинов, таких как фактор некроза опухоли альфа (TNF α), который стимулирует процессинг APP [8]. При этом активация α 7-nAChR ингибитирует воспаление [9] и уменьшает секрецию TNF α клетками микроглии [10], поэтому дисфункция α 7-nAChR приводит и к ослаблению контроля воспалительных процессов в мозге. В норме работа α 7-nAChR регулируется эндогенными белками семейства Ly6/uPAR, такими как нейромодулятор Lynx1 [11, 12], секретируемый белок эпителия SLURP-1 [13], специфический антиген клеток простаты PSCA [14] и др. Показано, что экспрессия Lynx1 снижена, а PSCA, наоборот, повышена в коре мозга пациентов, страдающих от БА по сравнению со здоровыми донорами [6, 14]. Кроме того, показано, что Lynx1 конкурирует с А β 1-42 за связывание с α 7-nAChR [6] и предотвращает нарушение долговременной потенциации и экспрессии этого нейромодулятора, вызванные А β 1-42 [15]. Однако вовлечение Ly6/uPAR белков в патогенез развития БА ранее не изучалось.

Целью данной работы является изучение роли белков семейства Ly6/uPAR, таких как Lynx1, Lypd6b, SLURP-1 и др. в патогенезе БА. Для достижения данной цели мы исследовали экспрессию генов, кодирующих различные белки семейства Ly6/uPAR, а также постсинаптический маркер PSD95 и провоспалительный фактор TNF α в гиппокампе мышей 2xTg-AD, моделирующих БА (линия B6C3-Tg (APP695) 85 Dbo/Tg (PSEN1) 85 Dbo с экспрессией химерного белка-предшественника амилоида мышь/человек с мутацией треонина на изолейцин в положении 714

(APP695) и мутантного пресенилина-1 человека). Показано, что экспрессия Lynx1 и Lypd6b в гиппокампе снижена, а TNF α повышена по сравнению со здоровыми животными линии B6C3. Кроме того, наблюдалось снижение со-локализации Lynx1 и α 7-nAChR в гиппокампе, а также снижение и повышение содержания Ly6/uPAR белка SLURP-1 и про-воспалительных цитокинов TNF α и TNF β , соответственно, в сыворотке крови 2xTg-AD мышей.

Для исследования использовали взрослые мыши (8–9 мес) линии B6C3 дикого типа (Tg-), а также трансгенные мыши линии B6C3-Tg(APP695)85Dbo/Tg(PSEN1)85Dbo (2xTg-AD). Данные мутации моделируют именно раннюю стадию БА [16]. Животных содержали в стандартных условиях Питомника лабораторных животных ФИБХ РАН (Уникальная научная установка “Био-модель” ИБХ РАН; Биоресурсная коллекция “Коллекция лабораторных грызунов SPF статуса для фундаментальных, биомедицинских и фармакологических исследований”, соглашение № 075-15-2021-1067), имеющего международную аккредитацию AAALACi. Животные содержались группами по 3–4 особи при 12-часовом цикле “день/ночь” и получали стандартный корм для грызунов и питьевую воду без ограничений. Все эксперименты проводились в соответствии с рекомендациями, изложенными в Директиве Совета Европейского сообщества от 24 ноября 1986 г. (86/609/EEC), и одобрены этическим комитетом ИБХ РАН (протокол № 248/2018 от 10 февраля 2018 г, продолжение протокола № 318/2021 от 17 февраля 2020 г.).

Для определения уровня экспрессии генов *Lynx1*, *Lynx2*, *Lypd6*, *Lypd6b*, *Psca*, *Slurp1*, *Slurp2*,

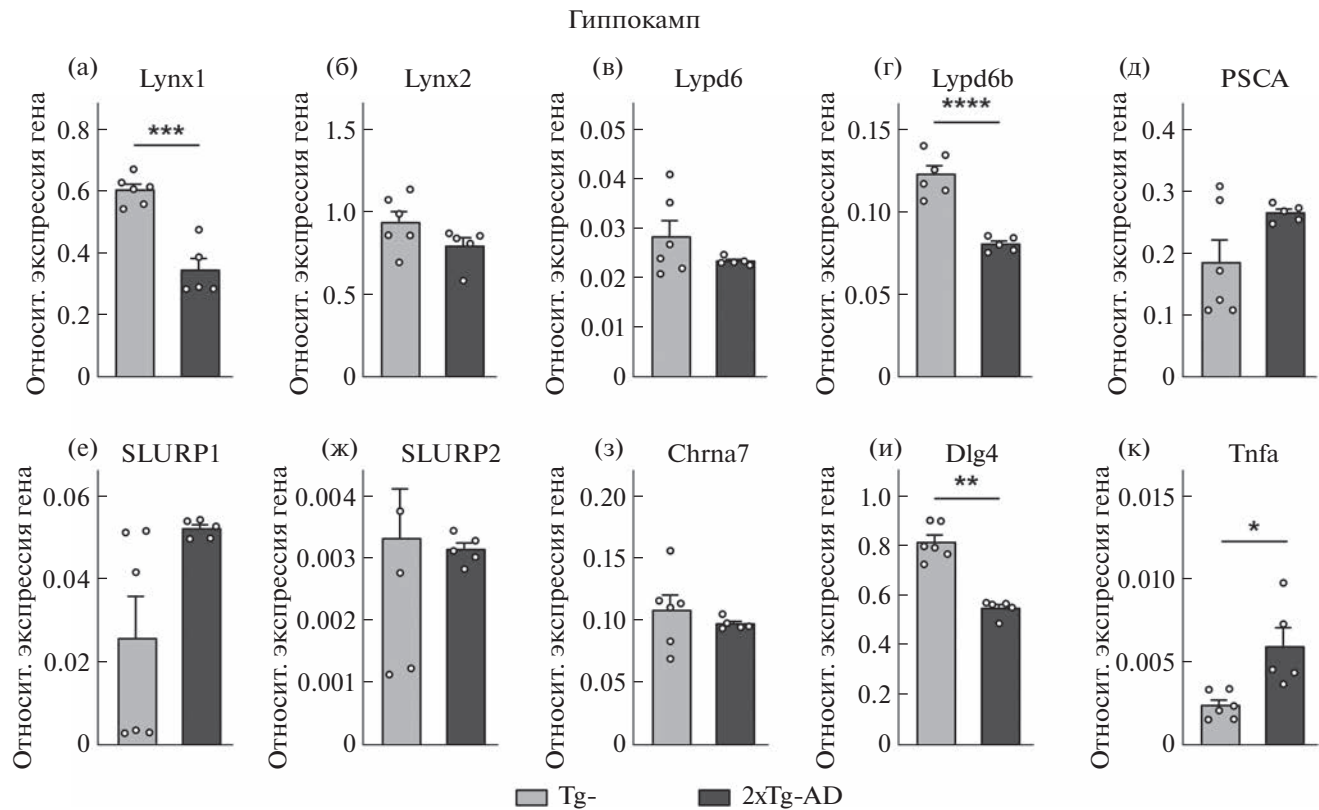


Рис. 1. Анализ экспрессии мРНК, кодирующих трехпетельные белки Lynx1 (а), Lynx2 (б), Lypd6 (в), Lypd6b (г), PSCA (д), SLURP-1 (е), SLURP-2 (ж), α 7-nAChR (з), постсинаптического маркера PSD95 (и) и TNF α (к) в гиппокампе здоровых и 2xTg-AD мышей с помощью ПЦР в реальном времени. Данные приведены как нормализованный уровень экспрессии гена \pm среднеквадратичная ошибка ($n = 5-6$). * ($p < 0.05$), ** ($p < 0.01$), *** ($p < 0.001$) и **** ($p < 0.0001$) означают отличие между группами данных согласно двустороннему t -тесту.

α 7-nAChR, Dlg4 и Tnfa использовали ПЦР в реальном времени, как описано ранее [12], праймеры указаны в табл. 1. Уровень экспрессии мРНК нормализовали по генам домашнего хозяйства β -актина, Gpdh и Sdha с использованием программного обеспечения LightCycler SW (Roche).

Для иммуногистохимии зафиксированный в формалине мозг здоровых и 2xTg-AD мышей инкубировали в растворе сахарозы, нарезали криотомом (М-32, Харьковпром) на срезы толщиной 25 мкм, проводили тепловую ренатурацию эпитопов в буфере Declere (Esbe Scientific) и инкубировали в течение 72 ч с первичными мышьями анти- α 7-nAChR (Thermo Fisher, MA5-31691, 1 : 150) и кроличьими анти-Lynx1 (Abcam, AB125035, 1 : 200) антителами. После трехкратной промывки срезы инкубировали с ослиными анти-мышьями антителами, коньюгированными с Alexa488 (Jackson Immunoresearch, 715-545-150, 1: 500), и куриными антикроличьими антителами, коньюгированными с Alexa647 (Life Technologies, A21443, 1 : 500). Затем срезы заключали в среду Prolong Gold (Life Technologies) и снимали с использованием масляно-им-

мерсионного объектива 63 \times (1.4) на микроскопе Carl Zeiss LSM710 в режиме z-стэкинга.

Для количественной оценки экспрессии и локализации α 7-nAChR и Lynx1 в гиппокампе, которые выглядели как “точки” в срезе, использовали программу Imaris 8.0 (Oxford Instruments). Минимальный диаметр точки составлял 0.3 мкм (что соответствует объему точки ~ 0.01 мкм³), определяли количество точек и интенсивность окрашивания. Интенсивность окрашивания кластеров была нормализована на флуоресценцию фона в каждой картинке. Для анализа со-локализации при помощи регрессионного анализа с использованием коэффициента Пирсона использовали программу ImageJ (NIH). Каждое изображение из z-стэка обрабатывали фильтрами (unsharp mask ($\sigma = 25$), median (радиус 2 пикселя), threshold (percentile, 90%), со-локализацию кластеров α 7-nAChR и Lynx1 анализировали с использованием плагина Coloc-2. Для каждой из мышей анализировали 4 поля зрения из 2 срезов гиппокампа, после чего данные усредняли.

Уровень SLURP-1, TNF α и TNF β в сыворотке мышей определяли при помощи сэндвич имму-

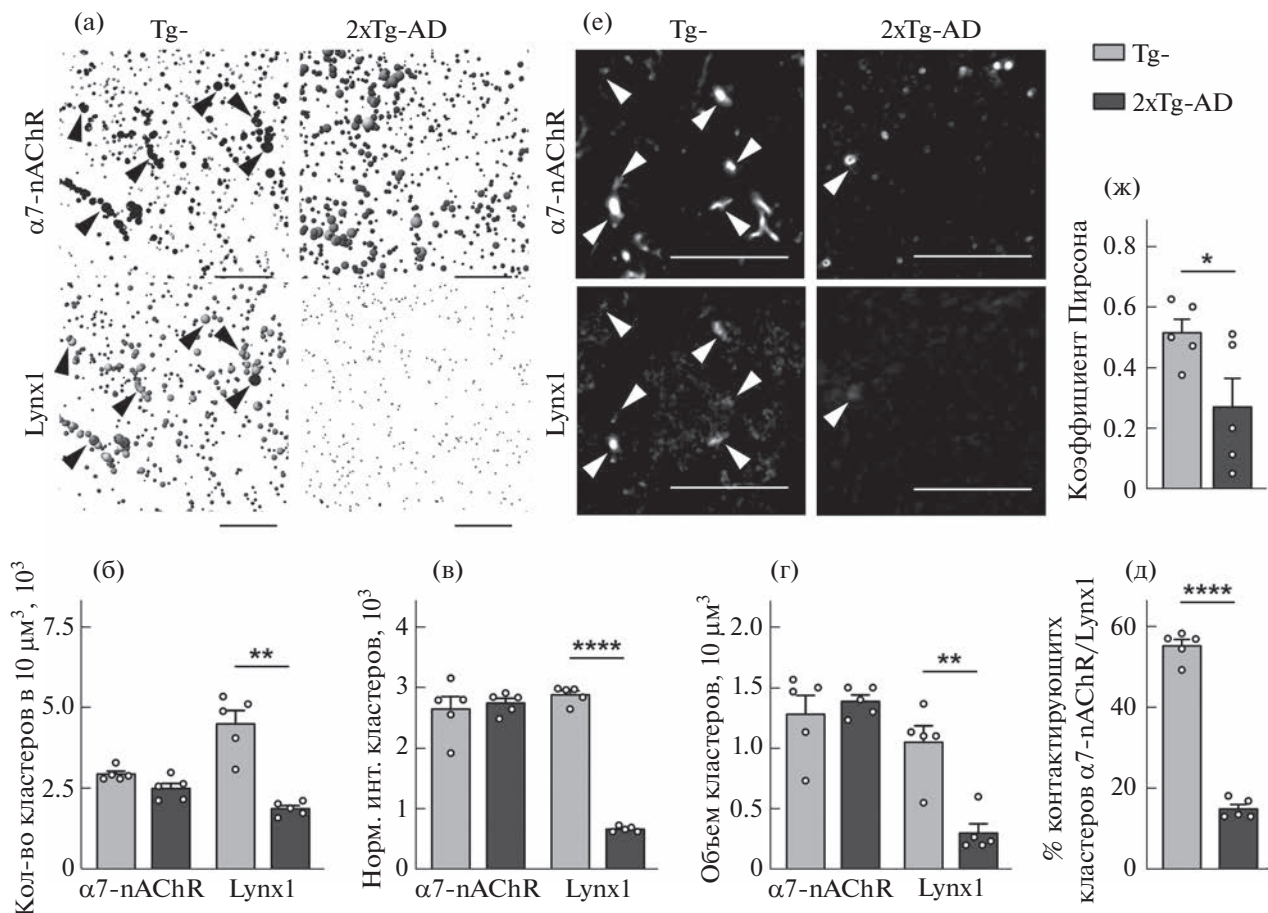


Рис. 2. Анализ локализации Lynx1 и α 7-nAChR в гиппокампе здоровых и 2xTg-AD мышей. а – Репрезентативное изображение реконструкции кластеров α 7-nAChR и Lynx1 из 3D изображения среза гиппокампа с помощью Imaris, шкала 10 мкм. Размер кластера пропорционален его объему, а оттенок серого – интенсивности окрашивания. Стрелками показаны места со-локализации кластеров α 7-nAChR. б, в, г – Анализ количества, интенсивности и объема кластеров α 7-nAChR и Lynx1 в гиппокампе здоровых и 2xTg-AD мышей, реконструированных при помощи Imaris соответственно. д – Анализ со-локализации кластеров α 7-nAChR и Lynx1 в гиппокампе здоровых и 2xTg-AD мышей, реконструированных при помощи Imaris. е – Ортогональная проекция кластеров α 7-nAChR и Lynx1 в гиппокампе мышей, шкала 10 мкм. Стрелками показаны места со-локализации кластеров α 7-nAChR и Lynx1. ж – Анализ со-локализации кластеров α 7-nAChR и Lynx1 при помощи регрессионного анализа с использованием коэффициентов корреляции Пирсона. Данные приведены как среднее \pm среднеквадратичная ошибка ($n = 5–6$), * ($p < 0.05$), ** ($p < 0.01$), *** ($p < 0.001$) и **** ($p < 0.0001$) означают отличие между группами данных согласно двустороннему t-тесту.

ноферментного анализа с использованием коммерческих наборов MBS1606981 (Mybiosource) для SLURP-1, ab 241791 для TNF α и ab244052 для TNF β (Abcam). Для детекции TNF α и TNF β захватывающее антитело иммобилизовали на планшет MaxiSorb (Thermo Fisher), после чего планшеты с антителами инкубировали с разведенными в соотношении 1 : 10 сыворотками крови мышей в течение 2 ч, затем планшеты трижды промывали коммерческим буфером (Mybiosource), инкубировали с детектирующим антителом, коньюгированным с пероксидазой хрина, и сигнал определяли с помощью тетраметилбензидина (Mybiosource) на микропланшетном спектрофотометре Multiskan (Thermo Fisher).

ПЦР в реальном времени показал, что в гиппокампе 2xTg-AD мышей, экспрессия генов Lynx1, Lypd6b и маркера постсинаптической плотности PSD95 (*Dlg4*) снижена в 1.8, 1.2 и 1.6 раза по сравнению со здоровыми мышами, экспрессия генов Lynx2, Lypd6, Psca, Slurp1, Slurp2 и α 7-nAChR не меняется, а экспрессия гена, кодирующего TNF α , значительно повышена (рис. 1). Так как TNF α является про-воспалительным цитокином, можно предположить, что уже на ранних стадиях БА в гиппокампе активируется воспаление. Снижение экспрессии Lynx1 на уровне белка было подтверждено при помощи гистохимии (рис. 2а). При этом не наблюдалось снижения экспрессии α 7-nAChR ни на генном, ни на белковом уровне (рис. 1и, 2б, 2г).

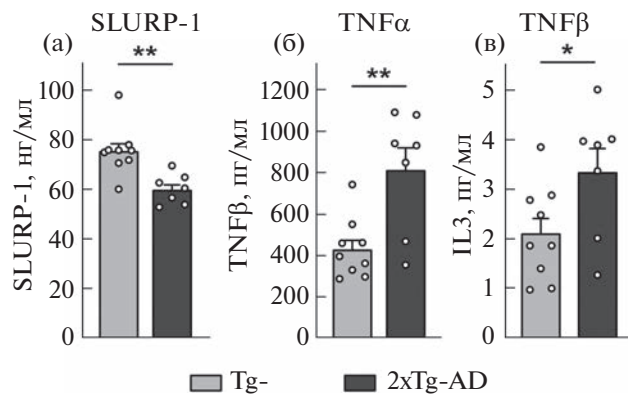


Рис. 3. Анализ содержания SLURP-1 (а), TNF α (б) и TNF β (в) в сыворотке здоровых и 2xTg-AD мышей. Данные приведены как концентрации сывороточно-го белка \pm среднеквадратичная ошибка ($n = 7-9$). * ($p < 0.05$) и ** ($p < 0.01$) означают отличие между группами данных согласно двустороннему t -тесту.

В здоровых мышах оба белка экспрессировались в виде кластеров объемом около 1.5 мкм³, причем значительное количество кластеров Lynx1 и $\alpha 7$ -nAChR было со-локализовано (рис. 2г–2ж), однако в 2xTg-AD мышах более чем на 50% снижалось количество кластеров Lynx1 (рис. 2г), в 4.4 раза падала интенсивность окрашивания (рис. 2в), а также значительно (с 1.5 до 0.1 мкм³) уменьшался объем кластеров Lynx1 (рис. 2е), что не было характерно для $\alpha 7$ -nAChR (рис. 2г–2е). Также у 2xTg-AD мышей сильно сокращалось количество со-локализованных кластеров Lynx1 и $\alpha 7$ -nAChR (рис. 2д, 2ж). Ранее мы показали, что в мозге здоровых мышей Lynx1 физически связан с $\alpha 7$ -nAChR, регулирует активацию рецептора [12] и конкурирует с А β 1-42 за взаимодействие с ним [6]. Таким образом, уменьшение экспрессии Lynx1 и его со-локализации с $\alpha 7$ -nAChR создает предпосылки для нарушения регуляции работы этого рецептора в результате неконтролируемого взаимодействия с А β 1-42. Снижение Lynx1 на уровне белка было показано для коры мозга пациентов и мышей с БА [6], однако снижение экспрессии Lynx1 и Lypd6b, а также нарушение со-локализации Lynx1 и $\alpha 7$ -nAChR в гиппокампе показано впервые.

Активация $\alpha 7$ -nAChR тормозит воспалительные процессы [9], а взаимодействие с олигомерным А β ингибирует работу рецептора [5, 6]. Результаты ИФА показали, что содержание паракринного регулятора клеточного гомеостаза SLURP-1, обладающего анти-воспалительными свойствами [17], в сыворотке крови 2xTg-AD мышей снижается на 20% по сравнению со здоровыми мышами, а уровни про-воспалительных цитокинов TNF α и TNF β [18, 19] повышаются в 1.6 и 1.9 раза, соответственно, по сравнению со здоровыми мышами

(рис. 3). Снижение уровня SLURP-1 при одновременном увеличении уровней TNF α и TNF β свидетельствует об активации воспалительных процессов у 2xTg-AD мышей. В пользу этого указывает и увеличение экспрессии гена, кодирующего TNF α (рис. 1к). Интересно, что ингибирование TNF α рассматривается как перспективная стратегия для терапии БА [20], в то время как возможное совместное таргетирование TNF β и компенсация уровня SLURP-1 ранее не обсуждались.

Таким образом, дисфункция $\alpha 7$ -nAChR, приводящая к нейродегенерации и поддержанию воспалительного микроокружения в мозге при БА, может быть связана с уменьшением экспрессии эндогенных белков-регуляторов семейства Ly6/uPAR, таких как Lynx1, Lypd6b и SLURP-1. Терапия, направленная на компенсацию нарушений работы $\alpha 7$ -nAChR аналогами белков Ly6/uPAR, может представлять собой перспективную стратегию лечения когнитивных расстройств, наблюдаваемых при БА.

ИСТОЧНИКИ ФИНАНСИРОВАНИЯ

Работа выполнена при финансовой поддержке Министерства науки и высшего образования Российской Федерации в рамках Федеральной научно-технической программы развития генетических технологий на 2019–2027 годы (Соглашение № 075-15-2021-1067) и Российского научного фонда (проект № 19-74-20176, исследование экспрессии Lynx1 и Lynx2).

СПИСОК ЛИТЕРАТУРЫ

- Ballard C. et al. Alzheimer's disease // Lancet. 2011. V. 377. № 9770. P. 1019–1031.
- Hampel H. et al. The Amyloid- β Pathway in Alzheimer's Disease // Mol Psychiatry. 2021. V. 26. № 10. P. 5481–5503.
- Muralidhar S. et al. Role of tau protein in Alzheimer's disease: The prime pathological player // Int J Biol Macromol. 2020. V. 163. P. 1599–1617.
- Buckingham S.D. et al. Nicotinic acetylcholine receptor signalling: roles in Alzheimer's disease and amyloid neuroprotection // Pharmacol. Rev. 2009. V. 61. № 1. P. 39–61.
- Lasala M. et al. Molecular Modulation of Human $\alpha 7$ Nicotinic Receptor by Amyloid- β Peptides // Front Cell Neurosci. 2019. V. 13. P. 37.
- Thomsen M.S. et al. Lynx1 and A β 1–42 bind competitively to multiple nicotinic acetylcholine receptor subtypes // Neurobiology of Aging. 2016. V. 46. P. 13–21.
- Hernandez C.M. et al. Loss of alpha7 nicotinic receptors enhances beta-amyloid oligomer accumulation, exacerbating early-stage cognitive decline and septohippocampal pathology in a mouse model of Alzheimer's disease // J Neurosci. 2010. V. 30. № 7. P. 2442–2453.
- Decourt B., Lahiri D.K., Sabbagh M.N. Targeting Tumor Necrosis Factor Alpha for Alzheimer's Disease // Curr Alzheimer Res. 2017. V. 14. № 4. P. 412–425.

9. *de Jonge W.J., Ulloa L.* The alpha7 nicotinic acetylcholine receptor as a pharmacological target for inflammation // *Br J Pharmacol.* 2007. V. 151. № 7. P. 915–929.
10. *King J.R., Gillevet T.C., Kabbani N.* A G protein-coupled α 7 nicotinic receptor regulates signaling and TNF- α release in microglia // *FEBS Open Bio.* 2017. V. 7. № 9. P. 1350–1361.
11. *Miwa J.M. et al.* lynx1, an Endogenous Toxin-like Modulator of Nicotinic Acetylcholine Receptors in the Mammalian CNS // *Neuron.* 1999. V. 23. № 1. P. 105–114.
12. *Shenkarev Z.O. et al.* Water-soluble variant of human Lynx1 positively modulates synaptic plasticity and ameliorates cognitive impairment associated with α 7-nAChR dysfunction // *J Neurochem.* 2020. V. 155. № 1. P. 45–61.
13. *Lyukmanova E. et al.* Human Secreted Ly-6/uPAR Related Protein-1 (SLURP-1) Is a Selective Allosteric Antagonist of α 7 Nicotinic Acetylcholine Receptor // *PLOS ONE* / ed. Ulrich H. 2016. V. 11. № 2. P. e0149733.
14. *Jensen M.M. et al.* Prostate stem cell antigen interacts with nicotinic acetylcholine receptors and is affected in Alzheimer's disease // *Neuroscience.* 2015. V. 36. № 4. P. 1629–1638.
15. *Bychkov M.L. et al.* Lynx1 Prevents Long-Term Potentiation Blockade and Reduction of Neuromodulator Expression Caused by A β 1-42 and JNK Activation // *Acta Naturae.* 2018. V. 10. № 3. P. 57–61.
16. *Elder G.A. et al.* Presenilin transgenic mice as models of Alzheimer's disease // *Brain Struct Funct.* 2010. V. 214. № 0. P. 127–143.
17. *Chernyavsky A.I. et al.* Anti-Inflammatory Effects of the Nicotinergic Peptides SLURP-1 and SLURP-2 on Human Intestinal Epithelial Cells and Immunocytes // *Biomed Res Int.* 2014. V. 2014.
18. *Buhrmann C. et al.* Evidence that TNF- β (lymphotoxin α) can activate the inflammatory environment in human chondrocytes // *Arthritis Research & Therapy.* 2013. V. 15. № 6. P. R202.
19. *Jang D.-I. et al.* The Role of Tumor Necrosis Factor Alpha (TNF- α) in Autoimmune Disease and Current TNF- α Inhibitors in Therapeutics // *Int J Mol Sci.* 2021. V. 22. № 5. P. 2719.
20. *Torres-Acosta N. et al.* Therapeutic Potential of TNF- α Inhibition for Alzheimer's Disease Prevention // *J Alzheimers Dis.* 2020. V. 78. № 2. P. 619–626.

ACCUMULATION OF β -AMYLOID LEADS TO A DECREASE IN LYNX1 AND LYPD6B EXPRESSION IN THE HIPPOCAMPUS AND INCREASED EXPRESSION OF PRO-INFLAMMATORY CYTOKINES IN THE HIPPOCAMPUS AND BLOOD SERUM

M. L. Bychkov^a, A. V. Kirichenko^a, A. S. Paramonov^a,
Academician of the RAS M. P. Kirpichnikov^{a,b}, and E. N. Lukmanova^{a,b,c,†}

^a*Shemyakin–Ovchinnikov Institute of Bioorganic Chemistry, Russian Academy of Sciences, Moscow, Russian Federation*

^b*Interdisciplinary Scientific and Educational School “Molecular Technologies of Living Systems and Synthetic Biology”, Faculty of Biology, Lomonosov Moscow State University M.V. Lomonosov, Moscow, Russian Federation*

^c*Shenzhen MSU-BIT University, Shenzhen, China*

[†]*e-mail: ekaterina-lyukmanova@yandex.ru*

Alzheimer's disease is a rapidly progressive neurodegenerative disease, the development of which is associated with the accumulation of β -amyloid oligomers, dysfunction of the α 7-nAChR nicotinic acetylcholine receptor, and activation of inflammation. Previously, we have shown that the neuromodulator Lynx1, which belongs to the Ly6/uPAR family, competes with β -amyloid(1–42) for binding to α 7-nAChR. In the present work, we studied the expression and localization of Ly6/uPAR family proteins in the hippocampus of 2xTg-AD transgenic mice that model AD and demonstrate increased amyloidosis in the brain. Using real-time PCR, we showed a decrease in the expression of the genes encoding Lynx1, Lypd6b, and the postsynaptic marker PSD95, as well as an increase in the expression of the TNF α gene in the hippocampus of 2xTg-AD mice. Histochemical analysis revealed that, in the hippocampus of 2xTg-AD mice Lynx1 does not co-localize with α 7-nAChR that can lead to the development of pathology when the receptor interacts with oligomeric β -amyloid. Also, in 2xTg-AD mice, activation of systemic inflammation was shown, which manifests itself in a decrease in the serum level of SLURP-1, a Ly6/uPAR family protein capable of regulating inflammatory processes, as well as an increase in the content of pro-inflammatory cytokines TNF α and TNF β . Thus, α 7-nAChR dysfunction and maintenance of the inflammatory microenvironment in the brain in Alzheimer's disease may be associated with a decrease in the expression of Ly6/uPAR family proteins that regulate α 7-nAChR activity and inflammation.

Keywords: Alzheimer's disease, nicotinic acetylcholine receptor, Ly6/uPAR, Lynx1, SLURP-1, Lypd6b